

## 水さい混合路盤材の曲げ強さについて

九州工業大学開発工学科 正会員 出光 隆基  
 同 上 学生員 ○ 猿渡 隆史  
 同 上 学生員 中平 幸作

## 1. まえがき

水さいの水硬性を利用して、これをバインダーに用いた、いわゆる水さい混合材に関して、筆者らは幾年來基礎的実験をおこなってきた。その結果、一軸圧縮強度、等価換算係数とともに路盤材として十分な値を得た。<sup>(1)(2)</sup>しかし、實際の道路で問題になるのは、曲げ引張強度およびセン断強度等であると考えられる。<sup>(3)</sup>そこで曲げ引張強度等を求めるために曲げ試験を行なつたので、ここにその結果を報告する。

## 2. 使用材料

粒度調整スラグ：膨張スラグを粒度調整したもので、最大寸法 25 mm。

水さい：熔融高炉スラグを水中急冷したもので、大きな潜在水硬性を有する。

碎石：福島県磐梯郡龍徳産玄武岩、粒径 5 ~ 25 mm。

シラス：鹿児島県姶良郡隼人産、最大寸法 25 mm.

消石灰：最大寸法 0.6 mm.

(表-1) に実験に使用した配合を示す。

## 3. 実験方法

(1) 供試体作製：(a) 圧縮試験用の円柱供試体は、JIS規格案に準じて(表-2a)の条件を作製した。

(b) 曲げ供試体は(表-2b)の条件で行なつたが、さらに、マジカル用ランマーで各層 100 回突固め、結局各層 400 回突固めた。これは円柱供試体と乾燥密度を同一にする必要性から実験的に決定したものである。なお供試体は最適含水比で作製し、最大乾燥密度との関係は(表-3)に示すようになった。

(2) 養生条件：両供試体とともに、打設後 24 時間は水浸せず自然乾燥させ、その後 4 回、約 30 分水浸した。なお破壊試験日前 3 日間は室内で自然乾燥させた。

## (3) 破壊試験

(a) 円柱供試体：一軸圧縮試験機を用い、変形量は  $1/100 \text{ mm}$  ダイヤルゲージを 3 個設置して測定した。

(b) 曲げ供試体：CBR 用試験機に曲げ試験用受け台を設置して試験を行なつた。なお供試体のタワミは、供試体底面の中央と両端に金具を貼りつけ、その変位を写真のようにダイヤルゲージ 6 個で測定して得た。ヒズミはストレンゲージを供試体底面の 3 分点と中央および上面の中央に貼って測定した。

## 4. 結果および考察

(図-1) に材令と一軸圧縮強度  $\sigma_c$  および圧縮変形係数  $E'$  の関係を示す。A 種では一軸圧縮強度が材令 60 日まで横ばいになっているが、その後大きな伸びを示している。この原因として、A 種にはアルカリ刺激剤である消石灰を加え

表-1. 配合条件

A種	粒度調整スラグのみ	
B種	碎石:水さい:消石灰 = 60:40:4	
C種	シラス:水さい:消石灰 = 60:40:4	

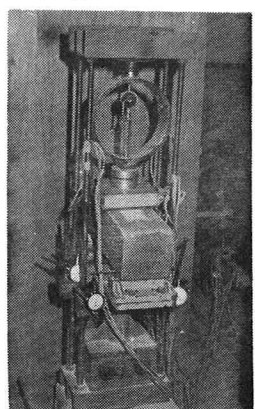
表-2. 突 固 め 条 件

	(a) 円柱供試体	(b) 曲げ供試体
ランマー	4.5 kg	4.5 kg
ランマーの直径	5 cm	11 cm
落下高さ	45 cm	45 cm
突 固 め 層 数	3 層	3 層
各層当りの突 固 め 回数	42 回	300 回
モールド	10 × 12.7	15 × 15 × 55

表-3. 最適含水比と最大乾燥密度の関係

	最適含水比(%)	最大乾燥密度( $\text{kg}/\text{cm}^3$ )	円柱供試体	曲げ供試体
A種	11	2.05	2.08	
B種	11	1.95	1.93	
C種	14	1.48	1.45	

(写真)



ていないため、水硬性が徐々にしか進行しなかったためと考えらる。B種とC種においては材令が進むにつれて、一軸圧縮強度、圧縮変形係数とともに順調に伸びている。

(図-2)に材令と曲げ引張強度  $\sigma_b$ 、タフミより求めた曲げ変形係数  $E_d$  およびストレンゲージより求めた曲げ変形係数  $E_t$  の関係を示す。

a) 曲げ引張強度は材令が進むにつれて順調な伸びを示している。特にC種(シラス)が材令28日まで他のA種、B種より大きい値を示しているのは、注目に値しよう。

b) タフミより求めた曲げ変形係数  $E_d$  はB種の場合、曲げ引張強度に比例するかの如く材令の進むにつれて大きくなっている。C種も材令とともに順調な伸びを示している。

c) ストレンゲージより求めた変形係数  $E_t$  は材令の進むにつれて大きくなっているが、A種はB種、C種に比べて非常に大きな値を示している。このことはB種、C種に比べてタフミにくいことを示していると考えらる。

次に一軸圧縮試験と曲げ引張試験を比較するために、材令と一軸圧縮強度/曲げ引張強度 ( $\sigma_b/\sigma_d$ ) および曲げ変形係数/圧縮変形係数 ( $E_d/E'_t$ ) の関係を(図-3)に示す。一軸圧縮強度と曲げ引張強度の比には大きなバラツキがあるが、図において右下りの傾向があるようである。これは曲げ引張強度の方が一軸圧縮強度より材令とともに伸びが大きいことを示しており、路盤材料として良好な性質と言えよう。またタフミより求めた曲げ変形係数と圧縮変形係数の比を見てみると、大体一定であり、曲げ変形係数  $E_d$  は圧縮変形係数  $E'_t$  の約2倍になるようである。

## 5. むすび

現在A種の粒度調整スラグは道路用路盤材として使用されており、それが強度不足で破壊したという例を筆者にはまだ聞いていない。そこで、これを水と水さい混合材(B種、C種)とを比較してみる。曲げ引張強度ではそれほど差がないが、引張ヒズミから求めた変形係数では、A種は非常に大きな値を示している。しかし変形係数が大きいということが路盤材として優れているとは言い難い。この点を考慮すれば、水さい混合材は圧縮と同様に引張りに対しても良好な力学的性質を有するものと考えらる。なお圧縮変形係数は曲げ変形係数( $E_d$ ,  $E_t$ )より小さくなるから、従来圧縮変形係数より等価係数を求めて来たが、この点では少なくとも安全側であったと考えられる。

最後に本実験に御協力くださった小倉鉱化工業会長の時枝 博氏および九州工業大学4年生の地頭 藤博君に深く感謝いたします。

## 参考文献

- (1) 出光、岡林、猿渡：道路用スラグに関する実験的研究、九州工業大学研究報告(工学)，第27号，昭和48年
- (2) 出光、猿渡、時枝：水さいをバインダーにした各種路盤材について、土木学会西部支部講演摘要集 昭和48年
- (3) 遠藤：アスファルト舗装の計算、道路建設、昭和37-38年

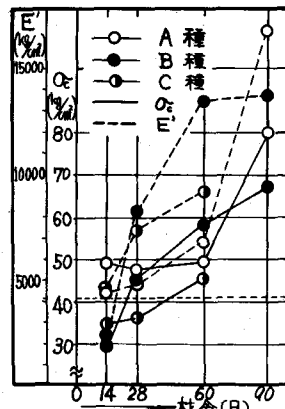


図-1. 材令と  $\sigma_b$ ,  $E_d$ ,  $E_t$  の関係

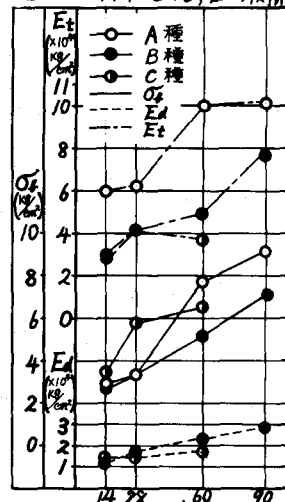


図-2. 材令と  $\sigma_b/\sigma_d$ ,  $E_d/E'_t$  の関係

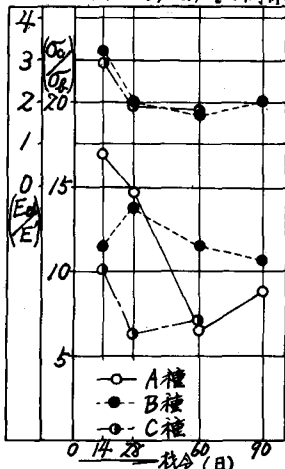


図-3. 材令と  $E_d/E'_t$  の関係